

بررسی پلیمرشدن اتیلن با استفاده از کاتالیزور فعال زیگلر - ناتا بر اساس تیتانیم تراکلرید نگهداری شده روی منیزیم اتوکسید

Study on Ethylene Polymerization by Active Ziegler-Natta Catalyst Based $TiCl_4$
Supported on $Mg(OEt)_2$

غلامحسین ظهوری^۱، مهدی نکوش حقیقی^۲، سید مصطفی حسینی بیان^۳، رفیه جم جاه^۴

۱- دانشگاه فردوسی مشهد، دانشکده علوم؛ ۲- پژوهشگاه پلیمر ایران

دریافت: ۷۶/۵/۱۱، پذیرش: ۷۶/۵/۱۶

چکیده

کاربرد عمده کاتالیزورهای زیگلر - ناتا در پلیمرشدن اولوگینها نظر اتیلن، پروپیلن و کوپلمر آنهاست. در این پژوهش، نخست کاتالیزور ناهمگن بر پایه منیزیم اتوکسید تهیه و سپس منیزیم اتوکسید در فرایند تولید کاتالیزور به منیزیم کلرید تبدیل شده است. این کاتالیزور به عنوان پایه برای یونهای تیتانیم موجود در تیتانیم تراکلرید عمل می کند. پلیمرشدن اتیلن با استفاده از کاتالیزور $Mg(OEt)_2$ /DNBP/ $TiCl_4$ /TEA در حلحل هبتان نرمال بررسی شده است. بهترین نسبت مولی تری اتیلن آلومنیم به تیتانیم حدود ۱۷۰ بدست آمده است. محدوده دمایی ۷۰-۲۵°C مطالعه شده و بهترین دما از نظر محصول دهنی کاتالیزور برابر ۵۵°C بدست آمده است. اثر میزان هیدروژن بر محصول دهنی و متوسط وزن مولکولی بر مبنای گرانزوی نیز بررسی شده است. پلیمرشدن در بهترین نسبت مولی تری اتیلن آلومنیم به تیتانیم و دمای ۵۵°C در محدوده فشارهای ۱ تا ۹ atm مطالعه شده است. پلیمر بدست آمده از نوع پلی اتیلن سنگین با پیگالی متوسط 945 g/cm^3 است. منحنی سینتیک پلیمرشدن اتیلن در این شرایط از نوع کاھشی است، هر چند افزایش شدید در سرعت پلیمرشدن در مراحل اولیه مشاهده شده است. میزان تبلور نمونه هایی از پلیمرهای حاصل به کسک گرمائی تفاصلی پویشی بررسی شده است.

واژه های کلیدی: کاتالیزور زیگلر - ناتا، تیتانیم تراکلرید، منیزیم اتوکسید، پلیمرشدن، اتیلن

Key Words: Ziegler-Natta catalyst, titanium tetrachloride, magnesium ethoxide, polymerization, ethylene

پلی پروپیلن (PP) با فرایند پلیمرشدن کاتالیزوری زیگلر - ناتا تولید مقدار

پلی اتیلن با دو روش رادیکال آزاد و زیگلر - ناتا تولید می شود. روش
رادیکال آزاد در فشارهای زیاد و دمای حدود ۳۰۰°C انجام می پذیرد.

فرایندهای آلومنیم به همراه بسیاری از هالیدهای فلزات واسطه پلی اتیلن سبک خطی (LLDPE)، پلی اتیلن سنگین (HDPE) و

تولوئن شرکت مرک روی همان نوع الک نگهداری و دی نرمال بوتیل فلات (DNBP) شرکت مرک به کمک کلسیم هیدرید مرک کاملا خشک شده است.

منزیم اتوکسید از پتروشیمی اراک تهیه شده و تیتانیم تراکلرید شرکت مرک مورد استفاده قرار گرفته است. آلومینیم تری اتیل از پتروشیمی اراک تهیه شده و بدون هیچ گونه خالص سازی بکار برده شده است. غلظت آلومینیم تری اتیل $\text{Hex}^{\circ}/\text{L}$ ۲۹/۵ است. اتیلن از پژوهشگاه صنعت نفت تهیه شده و با عبور دادن آن از ستون دارای الک مولکولی نوع ۴A خالص شده است.

نیتروژن با درجه خلوص ۹۹ درصد از شرکت نیروگاز تهیه شده و به منظور خالص سازی پیشتر از ستونهای الک مولکولی نوع ۴A/۱۳X، پیاس و فسفر پتوکسید عبور داده شده است. کلرو بتن شرکت مرک و دکالین (دکا هیدرو نفتالین، ۹۸ درصد، مخلوط ایزومرهای سپس و ترانس) شرکت آذریج مصرف شده است. یادآوری می شود که در 500 mL دکالین، ۸/۰ H_2O درصد) ضداکستنده (۴،۲-دی ترشیو بوتیل پاراکرزول) اضافه شده است.

دستگاهها

به منظور شناسایی نمونه ها از دستگاه فلورسان پرتوایکس (XRF) ساخت شرکت لینک مدل XRF ۳۰۰ استفاده شده است. با این دستگاه امکان شناسایی عنصری که در جدول تناوبی مکانهای پایینتر از کربن را اشغال کرده اند وجود ندارد.

برای تهیه فیلم مورد نیاز در مراحل مختلف شناسایی از دستگاه پرس داون تست با فشار 150 kg/cm^2 استفاده شده است. شناسایی به کمک طیف سنج زیر قرمز تبدیل فوریه بروکر مدل ۴۸ IFS انجام شده است. برای تعیین چگالی از دستگاه چگالی سنج شش ستونی داون تست استفاده شده است.

بررسی خواص گرمایی با استفاده از گرماسنج تفاضلی پوشی ساخت پلیمر لاب DSC مدل STA ۷۸۰ انجام گرفته است. تجزیه توام گرمایی-مکانیکی به منظور تعیین دمای انتقال شیشه ای (T_g) به کمک دستگاه DMTA شرکت PL انجام شده است.

به منظور تعیین متوسط وزن مولکولی بر مبنای گرانزوی، گرانزوی نمونه هایی از پلیمر تولیدی در مجاورت ضداکستنده اندازه گیری شده است. دستگاه مورد استفاده از نوع گرانزوی سنج پوشش دار طراحی شده در پژوهشگاه پلیمر ایران بوده است که طرح کلی آن در شکل ۱ مشاهده می شود. حلال مصرف شده دکالین بوده و اندازه گیری گرانزوی در کلرو بتن جوشان (دمای $128 \pm 1^{\circ}\text{C}$) انجام گرفته است.

تنهای فایندی است که برای تولید پروپیلن و کوپلیمرهای آن نظریه پروپیلن - اتیلن بکار می رود، زیرا پروپیلن را نمی توان با پلیمرشدن را دیگر آزاد تولید کرد. واکنش پلیمرشدن می تواند در چندین موضع فعال روی ذرات کاتالیزور آغاز گردد و سرعت انجام واکنش در این موضع با یکدیگر تفاوت دارد [۴، ۳، ۱].

کاتالیزورهای زیگلر - ناتا شکلهای متفاوتی از قبیل ساختار متفاوت، تعداد زیاد اجزا و همچنین ایجاد پدیده های فیزیکی - شیمیایی نظری محدود بهای انتقال جرم در فصل مشترک گاز - مایع در راکتورهای دوغابی، خردشدن کاتالیزور در ابتدای پلیمرشدن و محدودیت انتقال مونومر به موضع فعال و راههای انتقال گرمای سیستیک پیچیده ای دارند [۵].

کاتالیزورهای زیگلر - ناتا شکلهای متفاوتی از قبیل کاتالیزورهای همگن [۶، ۴، ۲]، کاتالیزورهای شبه همگن [۷، ۵، ۲] و کاتالیزورهای ناهمگن نگهداری شده و بدون نگهدارنده دارند [۶-۳]. در کاتالیزورهای نگهداری شده از یک پایه به منظور توزیع مناسب موضع فعال استفاده می گردد [۵، ۴].

کاتالیزورهای بسیار فعال برای پلیمرشدن اتیلن با واکنش میانی تیتانیم تری کلرید و آلكوکسیدهای منزیم بدست می آید. ساختار اولیه آلكوکسید در خلال واکنش تخریب شده و قطعات جدیدی با سطح مخصوص زیاد بدست می آید. بهم [۸] کاتالیزور بسیار فعالی را با استفاده از TiCl_4 و $\text{Mg}(\text{OBu})_2$ و به کمک کاتالیزور AlEt_3 بدست آورد. برای افزایش فعالیت کاتالیزور باید نسبت آلومینیم به تیتانیم را به حدود ۲۰۰-۲۰۰ به یک رساند. از ترکیبات دیگر منزیم نظری $\text{Mg}(\text{OH})\text{Cl}_2$ و $\text{Mg}(\text{OH})_2$ و $\text{Mg}(\text{OR})_2$ نیز استفاده می شود [۱۰، ۹، ۲].

در مورد پلیمرشدن کاتالیزوری مکانیسمهای متفاوتی پیشنهاد شده، اما به علت پیچیدگی فرایند پلیمرشدن هنوز مکانیسم مورد قبولی ارائه نشده است. هدف از انجام این طرح تهیه کاتالیزور خلیلی فعال است که در آن میزان پلیمر تولید شده نسبت به واحد وزن کاتالیزور مصرفی بیشتر می شود و در نتیجه هزینه های تولید کاهش می باید.

تجربی

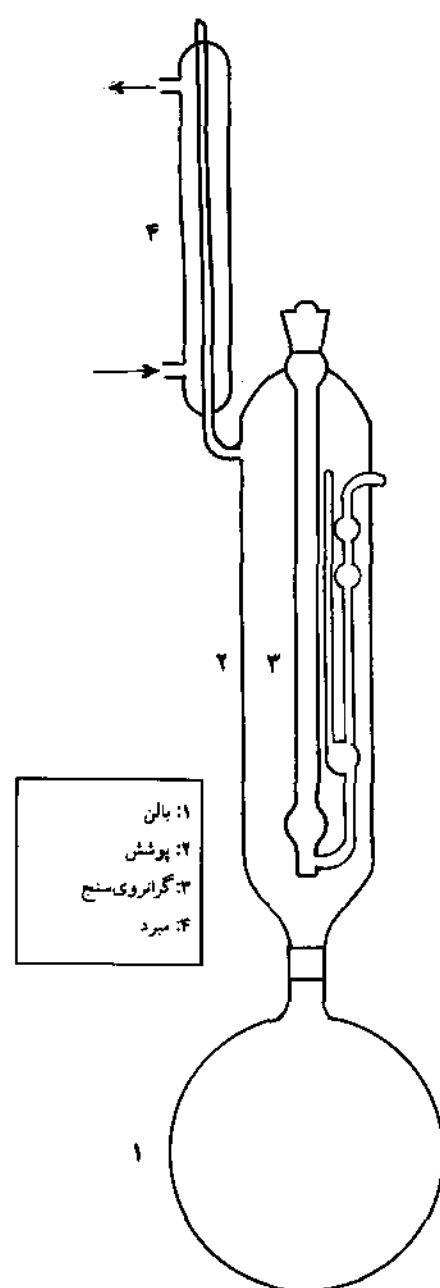
مواد

هپتان نرمال و هگزان نرمال بر ترتیب از مجتمعهای پتروشیمی بندر امام و اراک تهیه شده است. این مواد نخست تقطیر شده و سپس روی بستری از الک مولکولی نوع ۴A/۱۳X و مقداری سیم سدیم قرار گرفته است تا کاملا خشک و عاری از هرگونه ناخالصی گردد.

گرانزوی برای هر نمونه سه بار تکرار شده است. در داخل مخزن (۱) کلروبنزن جوشان قرار دارد و فرستاده می‌شود تا دما در داخل پوشش یکنواخت گردد. سپس، با فشار گاز نیتروژن پلیمر حل شده در دکالین به حبابهای بالای گرانزوی سنج رانده شده و زمان عبور آن از لوله موین اندازه گیری می‌شود.

روشها

تهیه کاتالیزور $\text{Mg}(\text{OC}_2\text{H}_5)_2/\text{DNBP/TiCl}_4$ مقدار ۸ ۰ منیزیم اتوکسید در داخل راکتور تهیه کاتالیزور، که طرح کلی آن در شکل ۲ آمده است، قرار داده شد. همراه با عمل همزدن ۲ ۰ mL تیتانیم تراکلرید به راکتور اضافه شد. همراه با عمل همزدن شدید دما تا 90°C افزایش داده شد. سپس ۷ / ۷ mL دی نرمال بوتیل فنالات به محل خود پوشش داده اضافه و دما تا 115°C افزایش داده شد. عمل همزدن شدید در این دما به مدت دو ساعت ادامه یافت. سپس دما به 90°C کاهش داده شده و در این دما محصول واکنش طی دو مرحله و هر بار با ۱۰۰ mL تولوئن شستشو داده شد. سپس ۸۰ mL تولوئن و پس از آن ۲۰ mL تیتانیم تراکلرید به محصول واکنش اضافه و محل خود حاصل به مدت دو ساعت در دمای 115°C بهم زده شد. محصول بدست آمده در 40°C طی ده مرحله و هر بار بوسیله ۱۰۰ mL هگزان نرمال شستشو داده شد. محلول آخرین مرحله شستشو برای اطمینان از عدم وجود تیتانیم مورد آزمایش قرار گرفت. محصول در 40°C تحت خلاه خشک گردید. تمام مراحل تهیه کاتالیزور در اتمسفر نیتروژن خشک انجام شد.

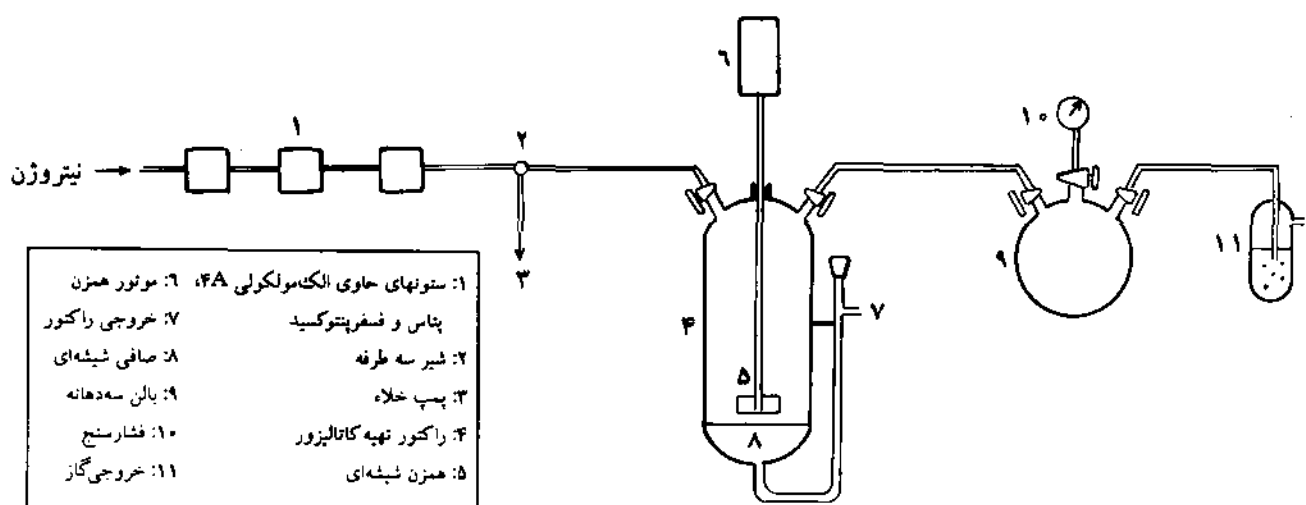


شکل ۱ - طرح گرانزوی سنج آبلهود پوشش دار.

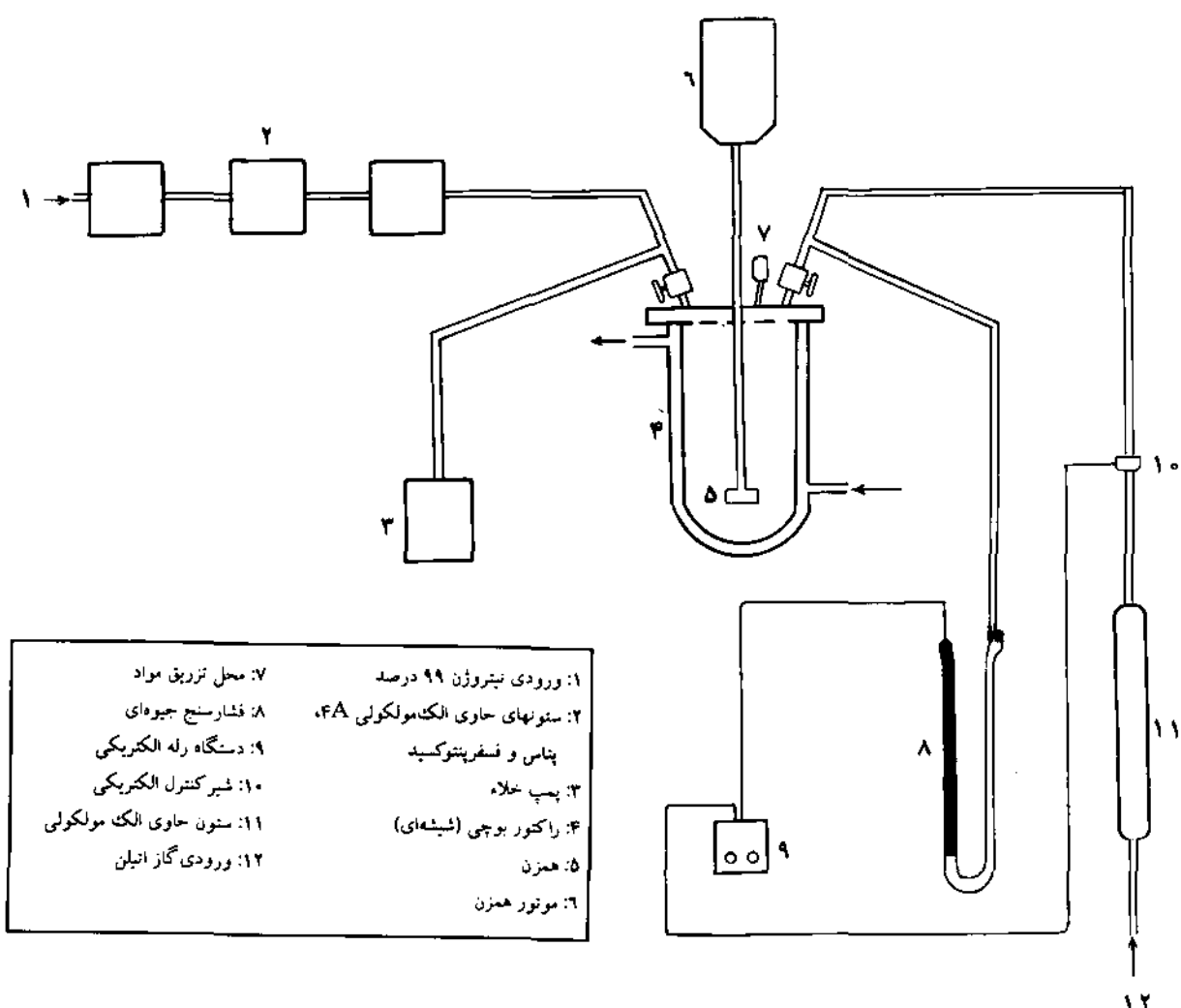
متوسط وزن مولکولی بر مبنای گرانزوی از معادله ۱ محاسبه می‌شود:

$$(1) [\eta] = K \bar{M}_v^\alpha$$

مقادیر K و α در سیستم مسورد استفاده بترتیب برای 67×10^{-4} dL/g و $67 / 67$ است [۱۱]. قطر داخلی لوله موین $4 / 4$ mm است. به منظور افزایش دقیق در این شرایط، اندازه گیری



شکل ۲ - طرح راکتور تهیه کاتالیزور.



شکل ۳ - طرح راکتور پلیمر شدن.

جدول ۳ - تغییرات میزان پلیمر تولیدی با نسبت مولی Al/Ti (زمان پلیمر شدن ۲ ساعت، غلظت تیتانیم 10 mmol/L ، 28°C ، حجم هپتان mL ۲۵۰، دما 60°C و فشار ۱ atm است).

میزان پلی اتیلن تولیدی در ۲ ساعت (g)	نسبت مولی آلمینیم به تیتانیم (Al/Ti)	مقدار TEA ^۱ مصرف شده (mmol)	شماره آزمایش
۲۷/۰۷	۱۰۸	۳۷/۳۰	۱
۵۲/۶۵	۱۲۵	۴۶/۶۳	۲
۵۷/۴۰	۱۵۰	۵۱/۸۱	۳
۵۸/۰۰	۱۶۵	۵۶/۹۹	۴
۵۹/۳۰	۱۷۲	۵۹/۴۱	۵
۵۷/۶۵	۱۸۰	۶۲/۱۷	۶
۵۶/۴۷	۱۸۷	۶۴/۵۹	۷
۵۵/۷۱	۱۹۵	۶۷/۳۵	۸
۵۵/۱۶	۲۲۴	۷۷/۲۷	۹
۵۴/۷۴	۲۵۴	۸۷/۷۳	۱۰
۵۱/۱۸	۲۸۴	۹۸/۰۹	۱۱

توجه به داده های حاصل مشخص می شود که با افزایش میزان آلمینیم تری اتیلن تولید پلیمر افزایش یافته و بعد از رسیدن به یک مقدار حد اکثر با یافتن تردد میزان آلمینیم تری اتیلن تولید پلیمر کاهش می یابد. افزایش اویله تولید پلیمر به کاهش تیتانیم از ظرفیت چهار به سه بوسیله آلمینیم تری اتیلن و سپس به آلكیل دار شدن مواضع کاتالیزوری و تبدیل آنها به مواضع فعال نسبت داده می شود.

آلومینیم آلكیل علاوه بر فعالسازی سبب از بین رفت ناخالصیها می گردد. وجود مقادیر کم آلمینیم تری اتیلن مانع کاهش و آلكیل دار شدن تمام مواضع فعال کاتالیزوری ممکن می شود. مکانیسم کاهش و آلكیل دار شدن در آزمایشها انجام شده توسط چند گروه از پژوهشگران [۱۷-۱۲] اثبات شده است.

کاهش وزن مولکولی پلیمر با افزایش غلظت آلمینیم تری اتیلن را می توان به سهولت واکنشات انتقال نسبت داد. آزمایشها انجام شده توسط کاشیوا و همکارانش [۱۸] مؤید نظریه فوق است.

آلومینیم تری اتیل اضافی اتمهای تیتانیم را کاهش داده و Ti^{+3} به Ti^{+2} تبدیل می کند. فعالیت Ti^{+2} در پلیمر شدن اتیلن کمتر از Ti^{+3} است و در پلیمر شدن پروپیلن فعال نیست [۱۹].

در نسبتها کم آلمینیم به تیتانیم واکنش از بین رفت فعالیت کاتالیزور از درجه اول بوده و در نسبتها بیشتر آلمینیم به تیتانیم، واکنش درجه دوم خواهد بود [۲۰].

جدول ۱ - عناصر موجود در کاتالیزور.

نام عنصر	درصد وزنی
منیزیم	۵/۴۱۶۶
کلر	۴۸/۷۶۱۷
تیتانیم	۱۰/۱۵۲۴

در تمام آزمایشها دور همزن در محدوده ۷۰۱ rpm تا ۷۰۸ تنظیم شد، محدوده ای که در آن مشکل انتقال جرم وجود ندارد [۳]. همزن مورد استفاده از نوع پارویی و از جنس فولاد ضدزنگ بود.

نتایج و بحث

شناسایی به کمک فلورورسان پرتوایکس عناصر موجود در کاتالیزور تهیه شده با پرتو ایکس شناسایی شد، که نتایج آن در جدول ۱ ارائه شده است.

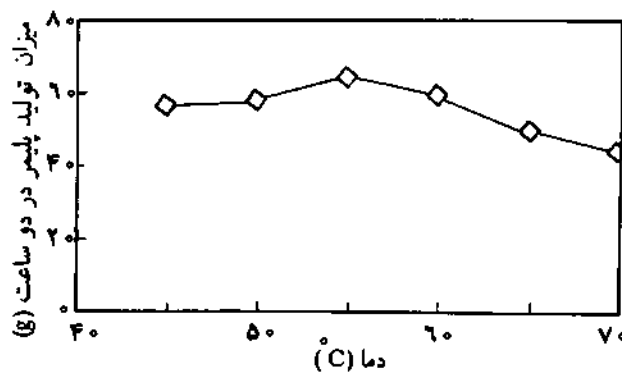
برای تعیین عناصر موجود در پودر پلیمر نیز از فلورورسان پرتو ایکس استفاده شد که نتایج بدست آمده در جدول ۲ ثبت شده است. نکته قابل توجه در این جدول، کاهش میزان کلر در نمونه شستشو شده است. در مصارف پزشکی پلیمرها، یکی از عوامل مهم مقدار کلر است که به علت سخی بودن، مقدار آن نباید از حد معینی تجاوز کند. با توجه به این نکته، پلی اتیلن نوع پزشکی با شستشو بدست می آید.

نسبت مولی آلمینیم به تیتانیم نخستین مرحله آزمایشها بدست آوردن نسبت مولی بهینه آلمینیم به تیتانیم است. در تمام آزمایشها این قسمت غلظت کاتالیزور 10 mmol/L است. جدول ۳ نتایج آزمایشها انجام شده در این مرحله را نشان می دهد.

نسبت مولی بهینه آلمینیم به تیتانیم حدود ۱۷۰ بدست آمد. با

جدول ۲ - درصد وزنی عناصر موجود در نمونه های پلیمری بدست آمده.

نام عنصر	درصد وزنی		
	نمونه ۱ (شستشو شده)	نمونه ۲	نمونه ۳
آلومینیم	۰/۷۲۷۰	۰/۶۶۸۲	۰/۶۶۸۴
کلر	۱/۹۷۲۷	۳/۷۱۱۱	۳/۷۸۲۷
تیتانیم	۰/۴۹۶۸	۰/۲۲۲۲	۰/۲۴۲۸



شکل ۵ - منحنی تغییرات میزان تولید پلیمر نسبت به دما (شرایط همانند جدول ۴ است).

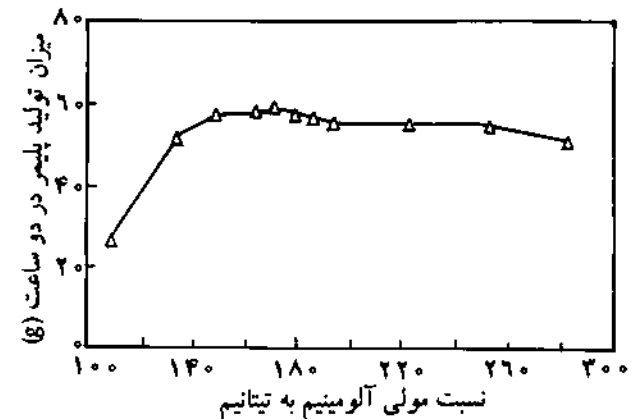
دهای بالاتر سبب برخورد بیشتر مولکولهای گاز با سطح مایع می‌شود، ولی اثر اصلی افزایش دما این است که قسمت اعظم مولکولهای حل شده دارای انرژی جنبشی لازم برای خروج از مایع می‌شوند. انحلال پذیری گازها در مایعات بجز در موارد استثنایی با افزایش دما کاهش می‌یابد [۲۱].

اثر فشار

برای بررسی اثر فشار مونومر بر میزان پلیمر تولیدی، پلیمرشدن در فشارهای متفاوت انجام گردید. بدین منظور نسبت مولی آلومنیم به تیتانیم ۱۷۲ و دمای ۵۵°C انتخاب شد. با توجه به جدول ۵ مشخص می‌شود که با ازدیاد فشار، میزان تولید پلیمر نیز بطور پیوسته افزایش می‌یابد. فشار یکی از پارامترهای مهم در اکثر فرایندهای پلیمرشدن است. در پلیمرشدن اتیلن بوسیله کاتالیزور مورد استفاده، همان‌طور که از نتایج بدست آمده پیداست، بیشترشدن فشار، تولید پلیمر را بصورت نمایی افزایش می‌دهد (شکل ۶). با شروع پلیمرشدن و رشد زنجیرهای پلیمری تعدادی از مواضع فعل در زیر لایه‌های پلیمری قرار می‌گیرند. افزایش فشار سبب شکستن ذرات کاتالیزور شده و در نتیجه، مواضع

جدول ۵ - میزان تولید پلیمر در فشارهای مختلف (شرایط پلیمرشدن همانند جدول ۴ است).

میزان پلیمر تولیدی در دو ساعت (g)	فشار (bar)	شماره آزمایش
۵۹/۳۰	۱	۱
۹۶/۷۶	۳	۲
۱۴۰/۶۵	۵	۳
۱۹۷/۳۲	۷	۴
۲۵۰/۲۸	۹	۵



نسبت مولی آلومنیم به تیتانیم

الور دما اثر دارد محدوده ۴۵°C تا ۷۰°C بر میزان پلیمر تولیدی در نسبت مولی آلومنیم به تیتانیم ۱۷۲ و فشار یک اتمسفر بررسی شد. نتایج بدست آمده در جدول ۴ و شکل ۶ ارائه شده است.

همان‌طور که از داده‌های این جدول مشاهده می‌شود، بیشترین مقدار پلیمر در دمای ۵۵°C بدست آمده است. با افزایش دما میزان پلیمر تولیدی افزایش یافته و بعد از رسیدن به یک مقدار حد اکثر، کاهش نشان می‌دهد (شکل ۵). در دمای پایین مرحله تعیین کننده سرعت، واکنش شیمیایی است، که با افزایش دمای سرعت آن افزایش می‌یابد. لذا، در مراحل اولیه با بالا رفتن دما تولید پلیمر بیشتر می‌شود. دمای‌های بسیار بالا سبب تخریب برگشت ناپذیر موضع فعال می‌شود [۵]. از طرفی، با افزایش دما، نفوذ مونومر تعیین کننده سرعت پلیمرشدن می‌گردد. از این روز، میزان پلیمر تولیدی در دمای‌های بالا روند کاهشی خواهد داشت. افزایش دما انحلال پذیری گاز را در مایع کم می‌کند. اگرچه

جدول ۶ - تغییرات میزان تولید پلیمر نسبت به دما (زمان پلیمرشدن ۲ ساعت، نسبت مولی آلومنیم به تیتانیم ۱۷۲، حجم هپتان ۲۵۰ mL و فشار ۱ atm است).

شماره آزمایش	دما (°C)	میزان پلیمر تولیدی در دو ساعت (g)
۱	۴۵/۰	۵۶/۲۲
۲	۵۰/۰	۵۸/۰۲
۳	۵۵/۰	۶۴/۶۸
۴	۶۰/۰	۵۹/۳۰
۵	۶۵/۰	۴۹/۷۷
۶	۶۹/۸	۴۴/۶۲

جدول ۶ - میزان تولید پلیمر در حجمهای مختلف هیدروژن (زمان پلیمر شدن ۲ ساعت، غلظت تیتانیم 10^{-3} mmol/L، $1/38 \times 10$ atm، حجم هیتان 250 mL ، دما 55°C و فشار 1 atm است).

شماره آزمایش	حجم هیدروژن (mL)	میزان پلی اتیلن تولیدی در دو ساعت (g)	میزان پلی اتیلن تولیدی در
۱	۱۰	۲۷/۸۵	
۲	۲۰	۵۲/۷۲	
۳	۳۰	۲۲/۱۹	

عبور دکالین خالص از لوله موین و در مراحل بعد زمانهای عبور دکالین به همراه پلیمر با غلظتهاي متفاوت اندازه گيری می شود. روش محاسبات بطور نمونه در مورد آزمایشی که در آن از 10 mL هیدروژن استفاده شده در جدول ۷ نشان داده شده است. در این جدول، η_{rel} نشان دهنده گرانزوی نسبی و η_{sp} معرف گرانزوی ویژه است.

طیف سنجی زیر قرمز تبدیل فوریه

برای شناسایی پلیمر، نمونه هایی از پلیمر تولیدی به کمک دستگاه FTIR شناسایی شد. نمونه مورد نظر در نسبت آلومینیم به تیتانیم حدود 170 ، فشار 1 atm و دما 55°C پلیمر شد. طیف بدست آمده در شکل ۷ ارائه شده است.

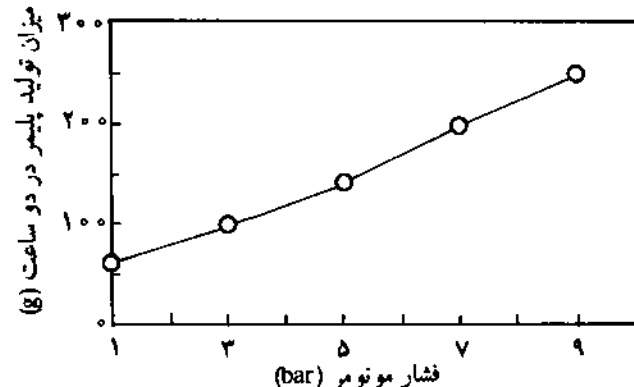
از روی این طیف و مقایسه آن با طیفهاي مرجع ساتلر [۲۶] و بروکر [۲۵] مشخص می شود که نمونه مورد نظر HDPE است.

تعیین چگالی

چگالی دو نمونه پلیمر در دما 23°C اندازه گيری شده است (جدول ۸). چگالی نمونه های تولید شده در محدوده چگالی گزارش شده برای پلی اتیلن سنگین (حدود 970 g/cm^3 / $940\text{ - }900\text{ g/cm}^3$) قرار می گيرد [۲۶].

گرماسنجی

با توجه به منحنیهای بدست آمده از گرماسنجی پویشی تفاضلی و اندازه گیری انرژی لازم برای ذوب نمونه های مورد نظر و مقایسه آن با



شکل ۶ - منحنی تغییرات میزان تولید پلیمر نسبت به فشار (شرایط همانند جدول ۵ است).

جدیدی را که قابلیت پلیمر شدن دارند در معرض محیط واکنش قرار می دهد. شکسته شدن ذرات کاتالیزور، بویژه در مراحل اولیه پلیمر شدن، در آزمایشهای انجام شده توسط وب [۲۶] و کیسن و همکارانش [۲۶] اثبات شده است. از طرفی، با افزایش فشار غلظت مونومر در فاز مایع افزایش می یابد.

افزایش هیدروژن

حجمهای مختلفی از هیدروژن به منظور کنترل وزن مولکولی به داخل راکتور تزریق شد. هیدروژن تقریبا سه دفعه پس از کمک کاتالیزور اضافه گردید که نتایج حاصل در جدول ۶ آمده است.

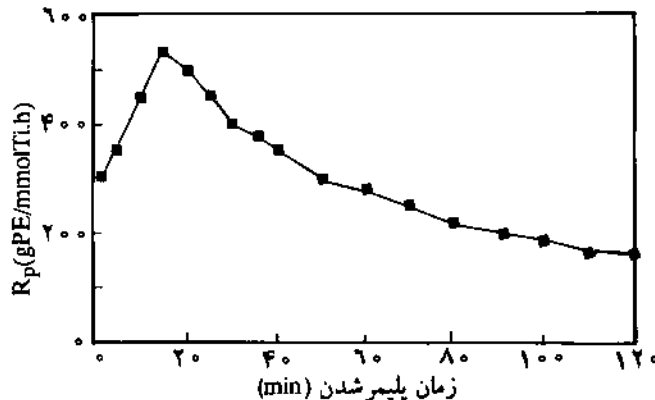
از هیدروژن در پلیمر شدن زیگلر-ناتا به عنوان عامل انتقال دهنده زنجیر استفاده می شود. واکنشهای انتقال کنترل کننده وزن مولکولی اند. افزایش میزان هیدروژن تزریق شده به داخل راکتور کاهش وزن مولکولی را بیشتر می کند. بنابراین، درصدی از زنجیرهای کوچک در محیط واکنش حل شده و در نتیجه، میزان پلیمر تولید شده در مقادیر زیاد هیدروژن کاهش نشان می دهد. ممکن است غلظت زیاد هیدروژن باعث تغییر مواضع فعال و کاهش فعالیت آنها گردد [۲۶].

تعیین متوسط وزن مولکولی بر مبنای گرانزوی

به منظور تعیین متوسط وزن مولکولی بر مبنای گرانزوی، ابتدا زمان

جدول ۷ - محاسبات انجام شده برای پلیمر با تزریق $40\text{ mL H}_2/\text{L Hep}$ (شرط پلیمر شدن همانند جدول ۶ است).

$\ln(\eta_{sp}/C)$	η_{sp}/C	$\eta_{sp} = \eta_{rel} - 1$	$\ln(\eta_{rel})$	$\eta_{rel} = 1/\eta_0$	$C(g/100\text{ mL})$
۵/۸۲۸	۱۲/۱۶۸	۳/۲۹۲	۱/۴۵۷	۴/۲۹۲	۰/۲۵۰
۵/۸۲۰	۱۰/۵۹۶	۱/۹۹۲	۱/۰۹۶	۲/۹۹۱	۰/۱۸۸
۵/۸۶۹	۹/۴۱۲	۱/۴۱۲	۰/۸۸۰	۲/۴۱۲	۰/۱۵۰
۵/۸۹۱	۸/۷۰۴	۱/۰۸۸	۰/۷۳۶	۲/۰۸۸	۰/۱۲۵



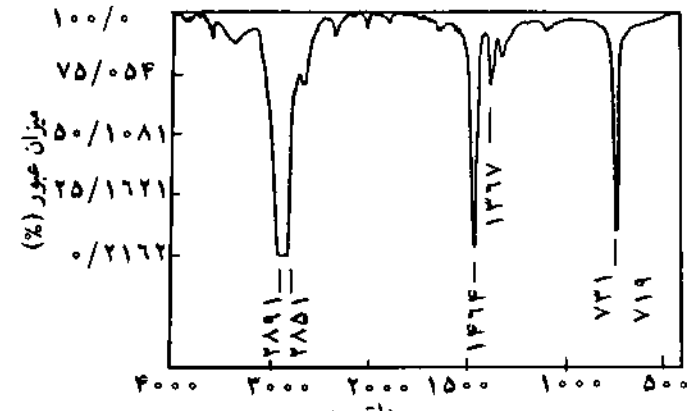
شکل ۸- منحنی سینتیکی سرعت-زمان برای کاتالیزور تهیه شده (زمان پلیمر شدن ۲ ساعت، نسبت مولی آلومینیم به تیتانیم حدود ۱۷۰، حجم هپتان ۲۵۰ mL، دما ۲۵°C و فشار ۱ atm است).

۲ برابر 25°C - 58°C بود. بدست آمده است.
منحنی سینتیکی رسم شده با کمک دستگاه شمارنده در شکل ۸ ارائه شده است.

نتیجه گیری

پلیمر شدن اتیلن با استفاده از کاتالیزور زیگلر-ناتا از چند جنبه مورد ارزیابی قرار گرفت که نتایج حاصل بشرح زیر است:
۱- سرعت پلیمر شدن، ابتدا افزایش و پس از رسیدن به یک حد اکثر کاهش می‌یابد، که مشخصه پلیمر شدن با استفاده از کاتالیزورهای نگهداری شده روی ترکیبات منیزیم است.
۲- غلظت آلومینیم آنکیل اثر عمده‌ای بر پلیمر شدن دارد. برای هر نوع کاتالیزور مقدار بهینه‌ای وجود دارد. برای کاتالیزور مورد استفاده مقدار بهینه در نسبت مولی آلومینیم به تیتانیم حدود ۱۷۰ بدست می‌آید.

۳- دمای بهینه برای پلیمر شدن حدود 25°C حاصل می‌شود.
۴- حداقل مخصوص پلیمر در تزریق هیدروژن به میزان $80\text{ mL H}_2/\text{L Hep}$ بدست می‌آید.
۵- پلیمر تهیه شده از نوع پلی اتیلن سنگین است.
۶- منیزیم اتوکسید به عنوان نگهدارنده انتخاب خوبی است، زیرا خاصیت جذب رطوبت کمتری نسبت به منیزیم کلرید دارد.



شکل ۷- طیف FTIR پلی اتیلن تولید شده (شرایط پلیمر شدن همانند جدول ۶ است).

ازری لازم برای ذوب پلی اتیلن صدرصد بلوری، درصد تبلور نمونه‌ها با درنظر گرفتن تناسب مستقیم تعیین می‌شود که نتایج آن در جدول ۹ ارائه شده است.

در پلیمر شدن نمونه شماره دو، بعلت وجود هیدروژن، واکنش انتقال بیشتر انجام گرفته و باعث کاهش وزن مولکولی شده است. با کاهش وزن مولکولی، قرار گرفتن زنجیرهای کوتاه در واحدهای بلوری راحت‌تر انجام می‌گیرد و در نتیجه، میزان تبلور این نمونه افزایش می‌یابد. با استفاده از دستگاه DMTA دمای انتقال شیشه‌ای نمونه شماره چهارگاهی پلیمر شدن از دستگاه DMTA می‌باشد.

جدول ۸- چهارگاهی پلیمر تولید شده در دو دمای مختلف (شرایط پلیمر شدن همانند جدول ۶ است).

شماره نمونه‌ها	دما پلیمر شدن (°C)	میزان تزریق هیدروژن (mL)	چگالی (g/cm³)
۱	۵۵	۰	۰/۹۴۵۰
۲	۶۰	۲۰	۰/۹۴۸۹

جدول ۹- درصد تبلور پلیمرهای تولید شده (شرایط پلیمر شدن همانند جدول ۶ است).

شماره نمونه	گرمای ذوب (ΔH_f) (cal/g)	درصد تبلور
پلی اتیلن	۳۷۰/۰۳	۱۰۰
یک	۳۵/۰۹	۵۰/۱۱
دو	۴۲/۸۸	۶۱/۲۲

۱: بدون تزریق هیدروژن

۲: با تزریق $80\text{ mL H}_2/\text{L Hep}$

۳: از مرجع ۲۶ بدست آمده است.

بدینوسیله از مستولان محترم دفتر پژوهش و توسعه مجتمعهای شرکت سهامی پتروشیمی ایران، پتروشیمی اراک و بندر امام که در تهیه مواد

- 12 Keii T. et al.; *Makromol. Chem.*; **183**, 2285-2304 , 1982.
- 13 Chien J. C. W. and Wu J. C.; *J. Polym. Sci. , Polym. Chem.*; **20**, 2461-76, 1982.
- 14 Ammendola P. and Zambelli A.; *Makromol. Chem.*; **185**, 2451-57, 1984.
- 15 Nirisen Φ. et al.; *Makromol. Chem.; Rapid Commun.*; **7**, 103-8, 1986.
- 16 Chien J. C. W. et al.; *J. Polym. Sci. , Polym. Chem.*; **27**, 1499-1514, 1989.
- 17 Kohara K. et al.; *Makromol. Chem.*; **180**, 2139-51, 1979.
- 18 Kashiwa N. et al.; *Stud. Surf. Sci. Catal.*; **25**, 43-70, 1986.
- 19 Forte M.C. and Coutinho F.M.B.; *Eur. Polym. J.*; **32**, 2, 223-31, 1996.
- 20 Farina M.; *Trends in Polymer Science*; **2**, 3, 80-6, 1994.
- 21 Kakugo M. et al.; *Macromolecules*; **21**, 314, 1988.
- 22 Webb S. W. et al.; *Can. J. Chem. Eng.*; **69**, 665-81, 1991.
- 23 Kissin Y. V. et al.; *Eur. Polym. J.*; **6**, 267, 1970.
- 24 Sadtler Research Laboratories, *Spectra Displayed*; Copyright 1980.
- 25 Bruker Analytische Messtechnik, *Spectra Displayed*; Copyright 1984.
- 26 Mark H. F. et al.; *Encyclopedia of Polymer Science & Technology*; John Wiley & Sons, **6**, 454-77, 1986.

اولیه جهت اجرای این طرح همکاری صمیمانه داشته‌اند، تشرک و
قدرتانی می‌شود.

مراجع

- 1 Boor J.; *J. Polym. Sci.*; **C1**, 257 , 1963.
- 2 Tait P. J. T. and Watkins N. D.; *Comprehensive Polymer Science*; Allen G. and Bevington J. C. (Eds.), Pergamon, **4**, 533-73, 1989.
- 3 Boor J.(Jr.); *Ziegler - Natta Catalysts and Polymerizations*; Academic, 1979
- 4 Nenitzescu C. D. et al.; *Angew. Chem.*; **68**, 438, 1956.
- 5 Cossee P.; *Proceedings of the 6th International Congress on Coordination Chemistry*; Macmillan, 241, 1961.
- 6 Locatelli P.; *Trends in Polymer Science*; **2**, 3, 87-91, 1994.
- 7 Stevens P.; *Polymer Chemistry*; Oxford University, 271-295, 1992.
- 8 Bohm L.L.; *J. Appl. Poly. Sci.*; **29**, 279-289, 1984.
- 9 Dusseault J. J. A. and Hsu C.C.; *J. M. S. Rev. Macromol. Chem. Phys.*; **C33**, 2, 103-45, 1993.
- 10 Gloor P. E.; *An Intensive Short Course on Polymer Production Technology*; Greece, 1-32, 1981.
- 11 Ystenses M.; *J. Catal.*; **129**, 383-401, 1991.